

КОНФЕРЕНЦИИ И СИМПОЗИУМЫ

## Научная сессия Отделения общей физики и астрономии Российской академии наук

(29 мая 1996 г.)

29 мая 1996 г. в Институте физических проблем им. П.Л. Капицы РАН состоялась научная сессия Отделения общей физики и астрономии Российской академии наук. На сессии были заслушаны доклады.

1. **Зализняк И.А., Реньо Л.П., Петров С.В.** (Институт физических проблем им. П.Л. Капицы РАН, Москва). *Экспериментальное подтверждение различий в спиновой динамике квазиодномерных антиферромагнетиков с целым и полуцелым спином.*

2. **Бучаченко А.Л., Ораевский В.Н., Похотов О.А., Страхов В.Н., Чмырев В.М.** (Институт земного магнетизма, ионосферы и распространения радиоволн РАН, Москва). *Ионосферные предвестники землетрясений.*

Краткое сообщение по второму докладу публикуется ниже.

PACS numbers: 91.30.Px, 94.20.Vv

### Ионосферные предвестники землетрясений

А.Л. Бучаченко, В.Н. Ораевский,  
О.А. Похотов, В.Н. Сорокин,  
В.Н. Страхов, В.М. Чмырев

#### 1. Введение

Землетрясения, извержения вулканов, цунами и другие крупномасштабные природные катастрофы, вызывающие многочисленные разрушения, ежегодно уносят сотни человеческих жизней; требуются многие миллионы долларов на восстановление и ликвидацию последствий этих стихийных бедствий. Поэтому прогнозирование и своевременное предупреждение о приближающихся катастрофах остается одной из важнейших нерешенных проблем современной геофизики и космической физики.

При разработке системы предупреждения необходимо учитывать не только сейсмические процессы, но весь комплекс физических явлений, возбуждаемых в различных средах на подготовительных фазах землетрясения. В настоящее время многие экспериментальные факты указывают на существование электромагнитных и плазменных предвестников землетрясений, т.е. возмущений параметров полей и плазмы, генерируемых в

атмосфере и ионосфере за часы, дни и недели до начала землетрясения. Настоящий доклад посвящен основным результатам экспериментального изучения этих явлений, развитию программы исследований процессов в очаге землетрясения и физических механизмов формирования различных типов предвестников с целью разработки методологии краткосрочного прогноза, а также обоснованию структуры и состава экспериментальной системы мониторинга предвестников землетрясений.

#### 2. Экспериментальные результаты

В течение последнего десятилетия в ряде спутниковых экспериментов обнаружены новые явления в ионосфере и магнитосфере, предшествующие землетрясениям. К ним, в частности, относятся аномальные всплески электромагнитного излучения в УНЧ/КНЧ/ОНЧ диапазонах, зарегистрированные на спутниках "Интеркосмос-18,19", "Интеркосмос-Болгария-1300", "Ореол-3", "Космос-1809", "Интеркосмос-24", "OGO-6", DE-2 и ряде других космических аппаратов [1–10]. Отмечена отчетливая связь этих аномальных электромагнитных явлений с конкретными землетрясениями. Существование КНЧ излучений сейсмического происхождения в ионосфере подтверждается результатами статистического анализа спутниковых данных по сотням землетрясений [10].

Имеются убедительные данные по квазипостоянным электрическим полям в земле и в ионосферной плазме [4, 11, 12], аномальному свечению атмосферы в различных диапазонах длин волн [13, 14], возмущениям основных параметров *E*- и *F*-областей ионосферной плазмы [15–19], изменениям ионного состава, температуры плазмы и потоков высокoenергичных частиц в верхней ионосфере [20, 21, 35], возмущениям амплитуды и фазы сигналов СДВ и КВ радиостанций на трассах, проходящих через зоны землетрясений [22, 23, 29], геомагнитным пульсациям и свистам [24–26], вариациям состава атмосферного газа, формированию аэрозольных облаков определенного типа и возрастанию концентрации тяжелых элементов в водных резервуарах вблизи очага землетрясения и ряду других явлений [19, 36].

Указанные выше процессы наблюдались с космических аппаратов или на наземной аппаратуре перед землетрясениями, опережая их начало на часы, дни или недели в зависимости от вида явления, благодаря чему их можно рассматривать как предвестники и использовать в качестве физической основы для построения

системы прогнозирования и предупреждения землетрясений.

Наряду с предвестниками крупномасштабных природных катастроф в последнее время обнаружены и активно изучаются возмущения параметров электромагнитных полей и плазмы, чувствительные к техногенным катастрофам, таким как аварии на атомных электростанциях, ядерные взрывы в различных средах и другие воздействия на окружающую среду, связанные с деятельностью человека [27–33].

Рассмотрим некоторые примеры сейсмогенных возмущений электромагнитных полей и плазмы, наблюдавшихся на ионосферных спутниках перед землетрясениями.

На рисунке 1б показаны вариации двух горизонтальных компонент магнитного поля  $B_x$  и  $B_y$  в диапазоне частот 0,1–8 Гц и вертикальная компонента квазистационарного электрического поля  $E_z$ , наблюдавшиеся со спутника "Интеркосмос–Болгария-1300" в 15-минутном интервале перед землетрясением, которое произошло 21 января 1982 г. [4]. Проекция орбиты спутника и положение эпицентра, отмеченного крестом, показаны на рис. 1а. Магнитный экватор обозначен сплошной линией. Начало землетрясения было в 17.50.26 UT, географические координаты эпицентра: 3,39° с.ш., 177,43° в.д., глубина 33 км, магнитуда  $M = 4,8$ . Стрелка на рис. 1б обозначает момент, когда спутник проходил на минимальном расстоянии (2,8° к западу) от эпицентра. Зоны вблизи 17.35.15 и 17.37.50 UT соответствуют проекции очага землетрясения вдоль магнитных силовых линий с нижней ионосферы на высоту спутника.

Видно, что вертикальное квазистатическое электрическое поле  $3\text{--}7 \text{ мВ м}^{-1}$  наблюдалось в двух зонах: около 17.38 UT над эпицентром землетрясения и в магнитно сопряженной зоне около 17.35.15 UT. Ширина зон составляла 1–1,5° по широте. Амплитуда наблюдавшихся геомагнитных пульсаций на частоте около 1 Гц была 3 нТл. В работе [4] показано, что наблюдавшиеся электрические и магнитные поля не являются полями ионосферного или магнитосферного происхождения, но связаны с землетрясениями.

Рисунок 2 иллюстрирует ионосферные эффекты сильных афтершоков разрушительного Спитакского землетрясения (Армения, 40,7° с.ш., 44,0° в.д., 7 декабря 1988 г.,  $M = 6,7$ ), которые анализировались в работе [8]. Наблюдения выполнялись с борта спутника "Космос-1809" на высотах  $\sim 970$  км в период высокой сейсмической актив-

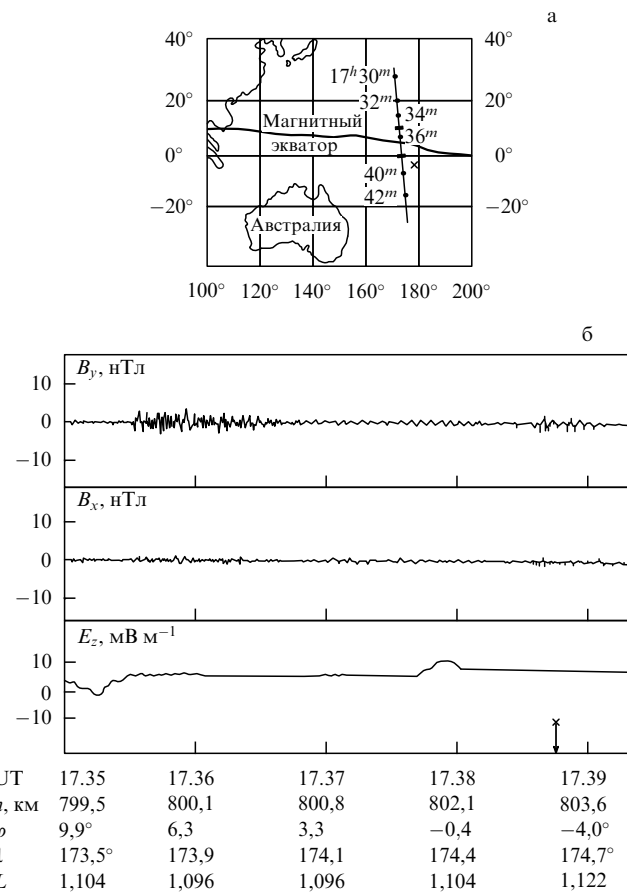


Рис. 1

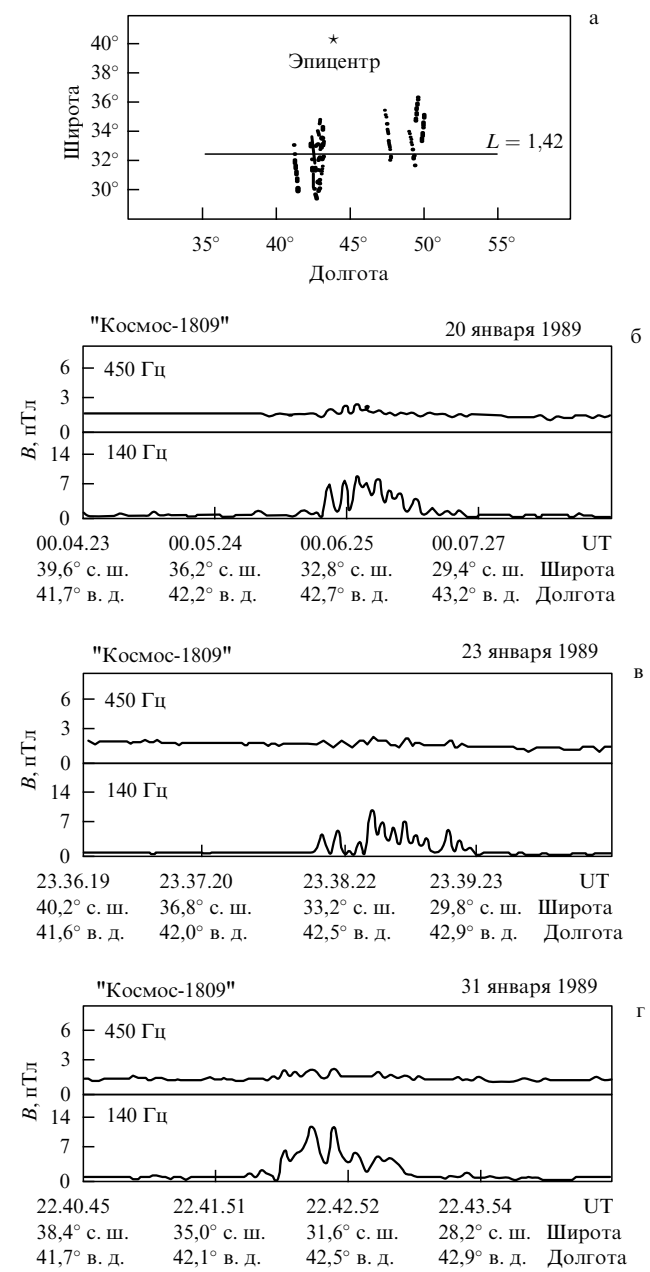


Рис. 2

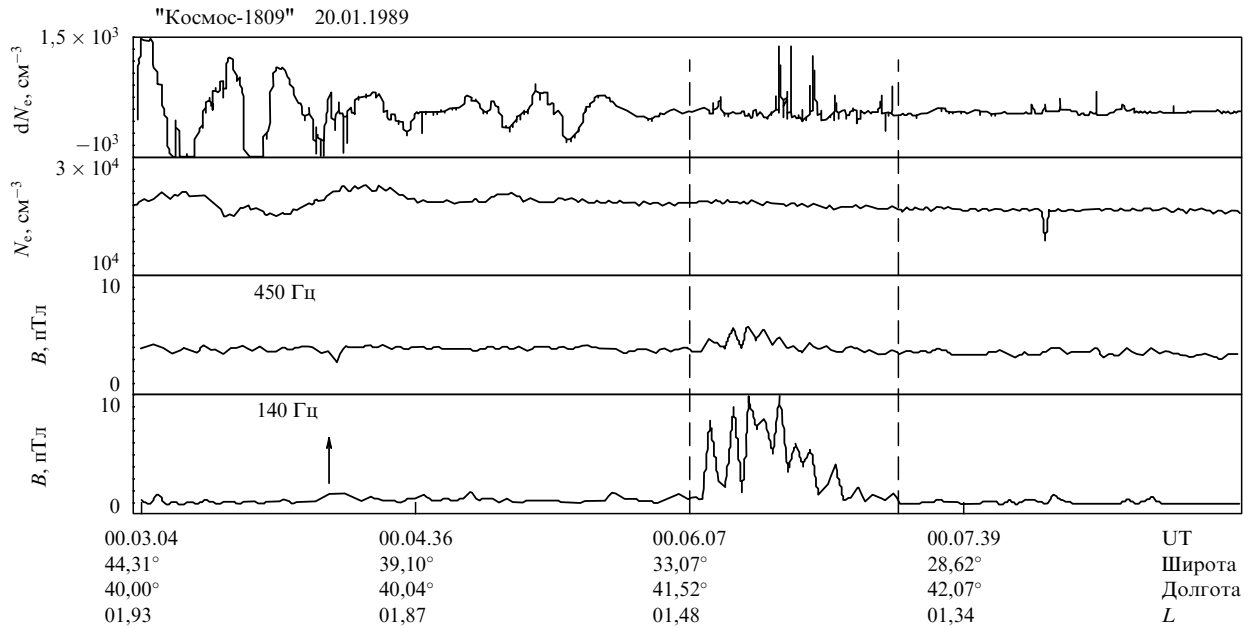


Рис. 3

ности с 20 января по 17 февраля 1989 г. На рисунке 2а–г показано: (а) локализация эпицентра и орбит спутника, на которых наблюдались электромагнитные КНЧ излучения; (б) наблюдения на частотах 140 и 450 Гц за 2,5 ч до землетрясения (мировое время UT, широта и долгота указаны на рисунке); (в) наблюдения, сделанные за 10 мин и 2,9 ч до афтершоков; (г) наблюдения во время длинной серии более слабых, но множественных толчков. Эти данные и другие результаты КНЧ/ОНЧ измерений на борту аппарата "Космос-1809" в районе Спитака показали, что интенсивные КНЧ излучения генерируются в зоне меньше или порядка  $6^\circ$  по долготе и  $2-4^\circ$  по широте относительно эпицентра землетрясения. Интенсивность излучений составляла около 10 пТл на частоте 140 Гц (в полосе частот 25 Гц) и около 3 пТл на частоте 450 Гц (в полосе 75 Гц). Дальнейшая работа с данными "Космос-1809" позволила обнаружить мелкомасштабные (4–10 км вдоль орбиты) неоднородности плотности плазмы  $\delta N/N = 3-8\%$ , которые возбуждаются в тех же областях, что и аномальные КНЧ излучения [34]. Пример такой неоднородной структуры показан на рис. 3 для случая, представленного на рис. 2б.

Ультранизкочастотный (УНЧ) отклик ионосферы на процессы подготовки землетрясений был обнаружен в [6]. Измерения [6], выполненные на спутнике "Интеркосмос-Болгария-1300" показали, что электромагнитное излучение на частотах выше и порядка 8 Гц с амплитудой 0,2–0,4 нТл возбуждается в ионосфере за несколько часов до и во время землетрясения. Ширина зоны регистрации излучения составляла 40–100 км вдоль траектории спутника, а максимальная интенсивность наблюдалась на  $L$ -оболочке проекции очага землетрясения на высоту 100 км в ионосфере. Пример динамического спектра УНЧ эмиссии сейсмического происхождения приведен на рис. 4. Стрелка на временной шкале показывает момент времени, когда спутник пересек  $L$ -оболочку эпицентра.

Рисунок 5 демонстрирует двумерное распределение отклонения электронной плотности от медианного уровня в максимуме  $F$ -слоя ионосферы (в терминах

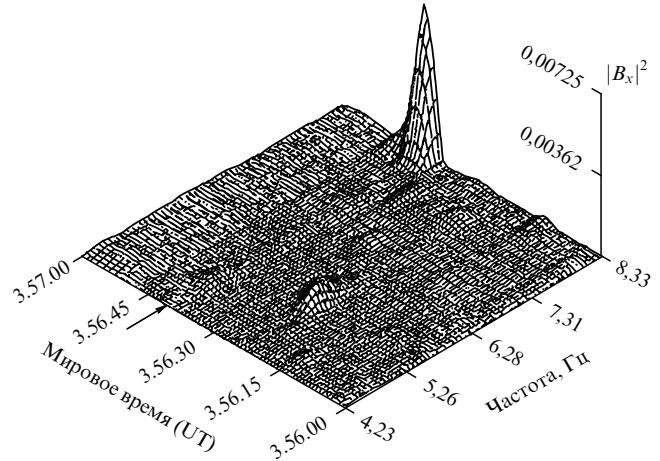


Рис. 4

критической частоты, МГц), наблюдавшееся на спутнике "Интеркосмос-19" с помощью бортового ионоспектрометра. Отрицательные вариации электронной плотности наблюдались за 2 дня и за 1 день до начала землетрясения (рис. 4а, б). Модификация ионосферы подобного рода, имеющая место в диапазоне высот от 60 км в  $D$ -слое до верхней ионосферы (вплоть до 1000 км), вызывается комбинированным действием электромагнитных и химических факторов на ионосферную плазму [19].

Таким образом, существует хорошая экспериментальная база для организации специальной программы работ по интегрированию всех существующих экспериментальных данных и физических моделей и их дальнейшему развитию с целью разработки методов применения ионосферных наблюдений для прогнозирования и контроля крупномасштабных катастроф из космоса. Вариант такой программы представлен ниже.

Вместе с тем, доступные экспериментальные данные по сейсмическим и техногенным эффектам в ионосфере были получены как попутные результаты экспериментов, первоначально планировавшихся для решения совсем

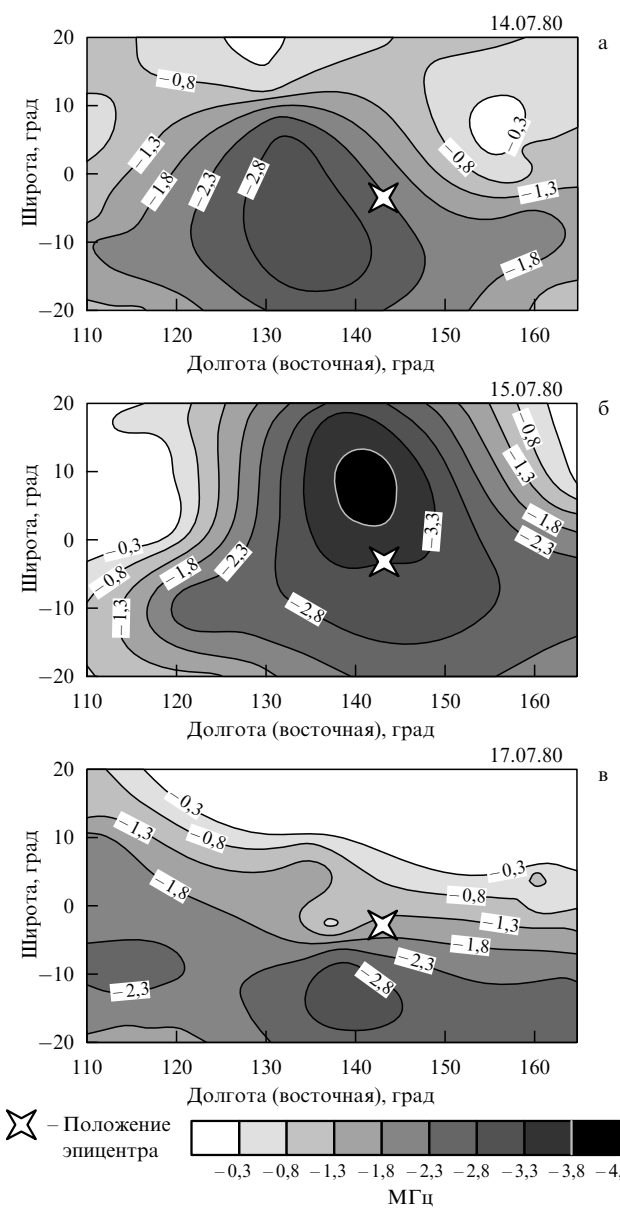


Рис. 5

других задач, не связанных с землетрясениями. Из этого вытекает необходимость в осуществлении экспериментальной космической программы, специально нацеленной на изучение ионосферных предвестников землетрясений. Основные направления работ в рамках этой программы могут быть сформулированы следующим образом:

1. Должен быть разработан комплекс приборов, позволяющий исследовать специфические физические процессы в ионосфере Земли, которые вызываются или могут вызываться процессами подготовки землетрясений. Эти исследования помогут установить причинно-следственные связи в цепочке развивающихся явлений и пространственно-временные характеристики сейсмогенных возмущений в ионосфере, которые могут быть использованы в системе раннего предупреждения.

2. Программа экспериментов должна предусматривать координацию космических и наземных наблюдений, а также прием данных с автономных "буйковых" станций в сейсмоактивных регионах. Эти данные должны доста-

вляться с помощью спутников в единый центр обработки данных для последующего систематического анализа материалов, поступающих от всех источников.

3. Должна быть разработана серия относительно недорогих микроспутников и субспутников, работающих автономно или в инфраструктуре больших космических аппаратов, которые могли бы выводить субспутники в качестве дополнительной полезной нагрузки. Поскольку уровень сейсмогенных возмущений в ионосфере очень мал, должны быть предусмотрены специальные меры по обеспечению электромагнитной чистоты и электромагнитной совместимости приборов и экспериментов на борту.

### 3. Обоснование структуры и состава экспериментальной космической системы мониторинга предвестников землетрясений

**3.1. Структура системы.** Из экспериментальных данных следует, что существует три характерных размера зоны проявления ионосферных признаков подготовки землетрясения, которые могут быть зарегистрированы со спутника:

- 1) большая зона:  $\pm 30^\circ$  относительно очага. *Наблюдаемые эффекты:* модификация высотного профиля электронной концентрации, изменение ионного состава плазмы, появление потоков высывающихся высокоэнергетических частиц и импульсных ОНЧ сигналов с аномальной дисперсией в верхней ионосфере. *Характерная особенность:* сейсмогенные возмущения профиля электронной концентрации наблюдаются в секторах местного времени 03–06 LT и 15–18 LT; зондирование ионосферы должно осуществляться с высот 1000 км и более;

- 2) средняя зона:  $\pm 10^\circ$  относительно очага. *Наблюдаемые эффекты:* генерация электромагнитных излучений в КНЧ диапазоне, формирование мелкомасштабных неоднородностей плотности плазмы, возмущение квазипостоянного электрического поля, генерация геомагнитных пульсаций на частотах  $\sim 1$  Гц и модификация высотного профиля интенсивности гидроксильных эмиссий. *Характерная особенность:* КНЧ излучения, электрические поля и мелкомасштабные неоднородности плазмы сопряжены с эпицентром по магнитным силовым линиям и могут наблюдаться с борта искусственных спутников Земли (ИСЗ) в магнитно сопряженных зонах;

- 3) малая зона:  $\leq 3^\circ$  относительно очага. *Наблюдаемые эффекты:* генерация УНЧ электромагнитных излучений и модификация атмосферных эмиссий с длинами волн 5577 и 6300 Å. *Характерная особенность:* зона УНЧ излучений сопряжена с эпицентром по магнитным силовым линиям.

Заметим, что представленные размеры зон по ряду параметров определены на весьма ограниченном экспериментальном материале и, следовательно, сами являются предметом исследования и уточнения на экспериментальном этапе работ по созданию системы прогнозирования.

Приведенные выше зоны и состав наблюдаемых в них признаков подготовки землетрясения, по существу, определяют структуру экспериментальной спутниковой системы для отработки методов прогнозирования землетрясений. При формировании ее облика будем исходить из следующих критериев:

разделяя земную поверхность равномерно на долготные секторы шириной  $60^\circ$  и  $20^\circ$  в соответствии с раз-

мерами большой и средней зон, потребуем, чтобы внутри каждой из них, по крайней мере, один раз в 1,5–2 ч находился спутник, оснащенный аппаратурой для наблюдения характерных для этих зон сейсмогенных процессов;

высота орбиты и ее наклонение должны обеспечить пребывание спутников в областях, где максимальны интенсивность и вероятность проявления признаков подготовки землетрясения;

измерения локальных параметров полей и плазмы в каждом секторе должны выполняться на парах спутников с идентичной аппаратурой на идентичных орбитах, отличающихся только временем пересечения экватора примерно на четверть периода обращения вокруг Земли, для того чтобы различить пространственные и временные вариации возмущений, исключить случайные сигналы и тем самым уменьшить вероятность ошибки.

В составе системы должна быть обеспечена возможность измерений и анализа сейсмических колебаний, УНЧ/КНЧ/ОНЧ волн, атмосферных эмиссий и других возможных предвестников землетрясений на сети наземных "буйковых" станций, опрашиваемых со спутников, которые осуществляют прямые локальные измерения параметров полей и плазмы; при этом на борт ИСЗ с "буяка" сбрасывается информация в сжатой форме, накопленная за прошедший промежуток времени, и передаются данные измерений в реальном масштабе времени синхронно с бортовыми измерениями.

Кроме измерительных комплексов космического и наземного базирования большую ценность представляет использование высотных дрейфующих и привязанных аэростатов, оснащенных аппаратурой для измерения электрических полей и вариаций проводимости, молекулярного состава газа и содержания твердых микрочастиц (аэрозолей) в атмосфере, а также вариаций атмосферных эмиссий в различных диапазонах длин волн. Аэростатная аппаратура должна опрашиваться со спутников нижнего эшелона (см. ниже) в таком же режиме, как наземные "буйковые" комплексы.

Таким образом, представляется оптимальным следующий вариант построения экспериментальной системы, учитывающий практически все известные в настоящее время явления и эффекты, которые рассматриваются как предвестники (или потенциально могут быть рассмотрены как предвестники) землетрясений, проявляющиеся на различных временных интервалах до начала землетрясения:

*Верхний спутниковый эшелон* в составе четырех спутников на круговых солнечно-синхронных орбитах высотой ~1000 км, плоскости которых смешены относительно друг друга на 90°, и одного спутника с эллиптической орбитой (350–3500 км) с наклонением орбиты ~83°. На этих спутниках должен осуществляться глобальный контроль трехмерного (широта, долгота, высота) распределения электронной концентрации в ионосфере с использованием бортового ионозонда и аппаратуры трансионосферного зондирования, масс-спектрометрия ионизированной и нейтральной составляющих газа в ионосфере, измерение температуры плазмы, атмосферных эмиссий на высотах F-области ионосферы, питч-углового и энергетического распределений потоков высокозэнергичных частиц и при достаточно высокой электромагнитной совместимости приборов анализ ОНЧ излучений.

Спутник с эллиптической орбитой необходим для исследования высотного распределения ионного состава, получения контрольной информации для селекции ложных сигналов, а также с целью поиска новых предвестников, исследования механизмов их генерации, зависимости от местного времени и высоты.

*Нижний спутниковый эшелон* в составе девяти пар малых спутников на круговых орбитах высотой ~400 км и наклонением 65–83°. Два спутника в паре должны находиться на идентичных орбитах, лежащих в одной плоскости и отличающихся только временем пересечения экватора примерно на четверть периода обращения вокруг Земли. Плоскости орбит девяти пар спутников должны быть равномерно распределены по долготе со смещением относительно друг друга на 40°. На этих спутниках должны осуществляться измерения УНЧ/КНЧ/ОНЧ волн, квазипостоянных электрических полей, плотности плазмы и ее мелкомасштабных флюктуаций, массового состава ионной и нейтральной составляющих ионосферной плазмы, потоков высокоэнергичных частиц, атмосферных эмиссий в различных линиях кислорода и азота в подспутниковых областях и гидроксильных эмиссий при наблюдениях в направлении лимба Земли.

*Аэростатный эшелон* в составе привязанных аэростатов, размещаемых на высотах 6–10 км в наиболее сейсмически опасных зонах, и дрейфующих аэростатов на высотах 30–40 км, запускаемых при благоприятных ветровых условиях в зонах повышенной сейсмической опасности. На аэростатах должны производиться измерения электрических полей и вариаций проводимости, молекулярного состава газа и содержания твердых микрочастиц (аэрозолей) в атмосфере, а также вариаций атмосферных эмиссий в различных диапазонах длин волн. Аэростатная аппаратура должна опрашиваться со спутников нижнего эшелона в таком же режиме, как наземные "буйковые" комплексы.

*Наземный эшелон* в составе автономных "буйковых" станций, размещаемых в зонах высокой сейсмической опасности в точках, свободных от индустриальных помех в УНЧ/КНЧ/ОНЧ и оптическом диапазонах частот, и базовых геофизических и радиофизических полигонов или обсерваторий. "Буйковые" станции должны оснащаться компактной малопотребляющей аппаратурой для измерений и анализа сейсмических колебаний, геомагнитных пульсаций, УНЧ/КНЧ/ОНЧ волн, атмосферных эмиссий и других возможных предвестников землетрясений, работающей в автономном режиме и не требующей замены источников энергопитания чаще одного-двух раз в год. При пролете спутника нижнего эшелона над "буйковой" станцией на борт ИСЗ с "буяка" сбрасывается информация в сжатой форме, накопленная за прошедший промежуток времени, и передаются данные измерений в реальном масштабе времени синхронно с бортовыми измерениями. Базовые геофизические и радиофизические полигоны осуществляют прием телеметрической информации со спутников в режиме сброса данных из бортовой памяти и режиме непосредственной передачи при проведении бортовых измерений в зоне видимости полигона, а также осуществляют непрерывный мониторинг предвестников землетрясений, используя средства вертикального зондирования ионосферы, радиомаяковые измерения, амплитудные и фазовые измере-

ния сигналов СДВ радиостанций на трассах, проходящих через сейсмоопасные регионы, измерения электро-тектонических полей и токов, состава атмосферы, другие виды измерений, которые позволяет помеховая обстановка. На полигонах выполняются также регулярные обсерваторские измерения в стандартной конфигурации.

Спутники верхнего и нижнего эшелонов должны работать непрерывно в одном из двух режимов: 1) режиме мониторинга, при котором между сеансами связи осуществляется непрерывная регистрация (с предварительной бортовой обработкой) данных и запись информации в бортовую память, опрашиваемую при пролете в зоне видимости приемной телеметрической станции, или 2) режиме эксперимента, при котором осуществляется непосредственная передача данных на телеметрическую станцию при максимальной скорости опроса измерительных приборов.

Станции приема телеметрической информации и пункты управления комплексами измерительной аппаратуры на спутниках должны более или менее равномерно покрывать земную поверхность, обеспечивая возможность передачи информации с борта и управление режимами работы спутника не реже одного раза в 3 ч. На более поздних этапах развития системы, когда будут отработаны алгоритмы автоматического распознавания признаков готовящегося землетрясения, необходимость в большом количестве наземных станций телеметрии и управления станет менее актуальной. Возможно, в этом случае работа по сбору информации со спутниковых систем и доставка ее в единый центр обработки и анализа данных будет возложена на один или несколько высокоапогейных спутников.

**3.2. Общие требования к спутникам экспериментальной системы.** В предыдущем разделе указаны требования к основным параметрам орбит спутников верхнего и нижнего эшелонов и правила построения "космической группировки" для непрерывного контроля всех известных в настоящее время ионосферных предвестников землетрясений. Сформулируем требования к космическим аппаратам (КА) и устанавливаемой на них измерительной аппаратуре:

1) каждый спутник должен иметь собственные системы энергопитания, терморегулирования, пространственной стабилизации и определения параметров ориентации, навигационной привязки, корректировки (поддержания заданных параметров) орбиты, телеметрии и приема команд управления, обеспечивающие нормальное функционирование КА и полезной нагрузки *не менее 2 лет*;

2) каждый спутник должен удовлетворять требованиям электромагнитной чистоты объекта и электромагнитной совместимости приборов и экспериментов на борту;

3) масса спутника должна лежать в пределах 50–100 кг для того, чтобы обеспечить возможность запуска относительно дешевыми ракетами-носителями, возможность выведения нескольких КА с последующим доведением орбиты (при необходимости) до нужных параметров с помощью корректирующей двигательной установки или выведения в качестве дополнительной полезной нагрузки на других КА для снижения стоимости проекта;

4) скорость передачи телеметрической информации должна быть не менее 2 Мбит  $s^{-1}$ , емкость бортового запоминающего устройства — не менее 100 Мбайт;

5) спутник должен быть стабилизирован по трем осям, причем одна ось направлена к центру Земли; точность стабилизации не хуже  $10^\circ$  по каждой оси, точность определения параметров ориентации не хуже  $1^\circ$ ;

6) система термостабилизации должна обеспечить температуру на посадочных местах научных приборов в аппаратном отсеке спутника  $20 \pm 10^\circ C$ ;

7) система энергоснабжения КА должна обеспечить среднесуточное потребление не менее 40 Вт в течение 2 лет;

8) корректирующая двигательная установка должна обеспечивать поддержание заданных параметров орбиты в течение 2 лет;

9) навигационная привязка КА должна осуществляться с точностью не хуже 300 м.

### 3.3. Требования к составу бортовой научной аппаратуры. *Состав аппаратуры спутников верхнего эшелона:*

— ионозонд-спектрометр типа ИС-1000 и аппаратура трансионосферного зондирования для регистрации предвестников землетрясений по вариациям электронной плотности во всей толще ионосферы;

— комплекс для локальных измерений концентрации, ионного и нейтрального состава плазмы, функции распределения тепловых электронов;

— спектрометры заряженных частиц на диапазоны энергий 5 эВ–20 кэВ и 20 кэВ–2 МэВ;

— сканирующий фотометр;

— магнитометр;

— УНЧ/ОНЧ приемники;

— измеритель квазипостоянных электрических полей или измеритель скорости дрейфа плазмы.

*Состав аппаратуры спутников нижнего эшелона:*

— измеритель трех компонент квазипостоянного электрического поля;

— измеритель параметров тепловой плазмы (включая температуру, плотность, колебания плотности и скорость дрейфа);

— пятикомпонентный УНЧ приемник;

— пятикомпонентные КНЧ и ОНЧ приемники;

— оптический комплекс в составе ТВ камеры и фотометра для наблюдений на лимбе и фотометра, ориентированного в надир;

— масс-спектрометр ионизованной и нейтральной составляющих ионосферной плазмы;

— спектрометр электронов и протонов с энергиями 20 кэВ–2 МэВ;

— магнитометр главного поля;

— система когерентных передатчиков для ионосферной томографии;

— система сбора данных с "буйковых" станций;

— корректирующая двигательная установка для поддержания заданных параметров орбиты КА.

### 4. Основные разделы программы исследований литосферно-ионосферного взаимодействия и разработки методологии краткосрочного прогноза землетрясений

#### A. Концепция литосферного механохимического реактора

A.1. Разработка теоретической модели, описывающей процессы накопления механических напряжений,

генерации и размножения микротрещин в упруго неоднородной среде.

А.2. Разработка представлений о механизмах возникновения критического напряжения и его сброса в макроскопическую (гигантскую) трещину со сдвиговым смещением.

А.3. Проведение лабораторного моделирования механохимии горных пород, в том числе, исследования процессов образования и переноса в атмосферу газообразных и аэрозольных фракций в продуктах работы реактора и связанных с ними процессов генерации электромагнитных полей и токов; разработка теории этих процессов.

А.4. Проведение натуральных экспериментов по исследованию химического состава продуктов работы реактора, проведение химического мониторинга в сейсмоактивных зонах для отработки методов химической диагностики и прогнозирования активности очага землетрясений.

А.5. Разработка теоретических моделей генерации излучений в рентгеновском, оптическом и радиочастотном диапазонах в процессе трещинообразования.

#### **Б. Динамика движения продуктов работы механохимического реактора в атмосфере, их перенос в ионосферу и модификация под воздействием космических ионизирующих излучений и грозовых разрядов**

#### **В. Химико-физическое воздействие продуктов работы реактора на атмосферу и ионосферу.**

В.1. Исследования изменений химического состава грунтовых вод, газового состава атмосферы и формирования аэрозольных облаков в области над очагом землетрясения.

В.2. Изучение атмосферной проводимости и атмосферных электрических полей, формирования грозовых очагов и стимуляции грозовой активности, роли вертикальных электрических разрядов в транспортировке ионов сейсмогенного происхождения в ионосферу.

В.3. Анализ изменений распределения плотности, температуры и ионного состава плазмы в ионосфере.

#### **Г. Геофизические эффекты работы механохимического реактора на стадиях подготовки землетрясения**

Г.1. Изучение основных механизмов формирования крупномасштабных электрических полей и токов, их модуляции различными источниками и генерации электромагнитных излучений в диапазонах частот геомагнитных пульсаций, УНЧ и КНЧ в эпицентralьной области.

Г.2. Изучение стимулированных (вторичных) электромагнитных излучений и геомагнитных пульсаций.

Г.3. Исследование стимулированных неоднородностей плазмы в ионосфере.

Г.4. Исследование процессов модификации D-области ионосферы, возмущения характеристик дальних атмосфериков, амплитудных и фазовых характеристик сигналов СДВ и КВ радиостанций в волноводе Земля–ионосфера.

Г.5. Анализ механизмов образования и модификации спорадических слоев в E-области ионосферы.

Г.6. Исследование свечения атмосферы в эпицентralьной зоне и ионосферы над очагом землетрясения.

#### **Д. Причинно-следственные связи между наблюдаемыми явлениями и методология прогноза землетрясений**

Д.1. Создание феноменологической модели воздействия механохимического реактора на околоземное пространство.

Д.2. Разработка физической модели воздействия механохимического реактора на атмосферу, ионосферу и магнитосферу Земли.

Д.3. Создание физико-химических основ методологии краткосрочного прогнозирования землетрясений с использованием химического, электромагнитного и плазменного мониторинга предвестников землетрясений наземными и космическими средствами.

#### **Список литературы**

1. Мигулин В В и др., Препринт № 25 (390) (М.: ИЗМИРАН, 1982) с. 28
2. Gokhberg M B et al. *J. Geophys. Res.* **87** 7824 (1982)
3. Ларкина В И и др. *Геомагнетизм и аэрономия* **28** 812 (1988)
4. Chmyrev V M et al. *Phys. Earth Planet. Inter.* **57** 110 (1989)
5. Parrot M, Mogilevsky M M *Phys. Earth Planet. Inter.* **57** 86 (1989)
6. Биличенко С В и др. *ДАН* **311** 1077 (1990)
7. Михайлова Г А, Голявин А М, Михайлов Ю М *Геомагнетизм и аэрономия* **31** 80 (1991)
8. Serebryakova O N et al. *Geophys. Res. Lett.* **19** 91 (1992)
9. Molchanov O A et al. *Ann. Geophys.* **11** 431 (1993)
10. Parrot M J. *Geophys. Res.* **99** 23339 (1994)
11. Varotsos P, Alexopoulos K *Tectonophysics* **110** 73 (1984)
12. Varotsos P, Alexopoulos K *Tectonophysics* **136** 335 (1987)
13. Fishkova L M et al. *Ann. Geophys.* **3** 679 (1985)
14. Торошелидзе Т И, Фишкова Л М *ДАН* **302** 313 (1988)
15. Гохберг М Б и др. *Изв. АН СССР. Физика Земли* (4) 12 (1988)
16. Fatkullin M N, Zelenova T G, Legenka A D *Phys. Earth Planet. Inter.* **57** 82 (1989)
17. Алимов О А и др. *ДАН* **305** 1335 (1989)
18. Липеровский В А и др. *Изв. АН СССР. Физика Земли* (12) 77 (1990)
19. Pulinets S A, Legenka A D, Alekseev V A, in *Dusty and Dirty Plasmas, Noise and Chaos in Space and in the Laboratory* (New York: Plenum Publ., 1994) p. 545
20. Boskova J et al. *J. Atm. Terr. Phys.* **55** 1595 (1993)
21. Boskova J et al. *Studia Geoph. et Geod.* **38** 213 (1994)
22. Ralchovsky Tz, Komarov L *Bulgarian Geophys. J.* **14** 78 (1988)
23. Липеровский В А, Похотелов О А, Шалимов С А, в кн. *Ионосферные предвестники землетрясений* (М.: Наука, 1992) с. 304
24. Fraser-Smith A C et al. *Geophys. Res. Lett.* **17** 1465 (1990)
25. Копытенко Ю А и др., Препринт № 3 (888) (М.: ИЗМИРАН, 1990) с. 25
26. Hayakawa M, Yoshino T, Morgounov V A *Phys. Earth Planet. Inter.* **77** 97 (1993)
27. Blanc E, Rickel D *Radio Science* **24** 279 (1989)
28. Гохберг М Б и др. *ДАН* **313** 586 (1990)
29. Фукс И М, Шубова Р С *Геомагнетизм и аэрономия* **34** 130 (1994)
30. Mendillo M, Hawkins G S, Klobuchar J J. *Geophys. Res.* **80** 2217 (1975)
31. Гальперин Ю И и др. *Изв. АН СССР. Физика Земли* (11) 88 (1985)
32. Чмырев В М и др. *Космические исследования* **27** 248 (1989)
33. Imhof W L et al. *Geophys. Res. Lett.* **10** 361 (1983)
34. Chmyrev V M et al. *J. Atm. Terr. Phys.* (in press) (1996)
35. Гальперин Ю И и др. *Космические исследования* **30** 89 (1992)
36. Alekseev V A, Alekseeva N G, Jchankuliev J *Radiation Measurements* **25** 637 (1995)